

宮崎大学 工学部 正員 堤 一
 宮崎大学 工学部 正員 横田 茂
 宮崎大学 工学部 正員 ○鶴崎義弘

1. まえがき ティビダーケ工法によるPCコンクリート橋の建設途中において、桁が隣接なものと連結されていない状態は、ときに地震時に不安定である。本研究は、このような状態を対象として、実物の振動実験、地盤の載荷試験を行ない、得られたデータを用いて、地盤の復元力に非線形性を考慮した応答解析を行ない、この構造物の転倒に対する安全性を解析したものである。対象とした橋は、宮崎市の新橋橋で、図-1に示すやうな両張出し桁（以下単体とよぶ）を連結した全長389mの6径間連続PC箱桁橋である。ピアの基礎は、第三紀の宮崎層群（泥岩と砂岩の互層）に対して直接基礎で、大きさは、7×11mである。

2. 振動実験結果とモデル化 起振機によ

る振動実験より、求められた単体の固有振動数は、上下方向につりこは、1次が1.21Hz（ロッキニギ1次）、2次が2.73Hz（片持梁1次）、3次が9.15Hz（片持梁2次）、橋軸方向については、1次と2次が上下方向と同じで、3次が3.78Hzである。橋軸直角方向は、1次が1.79Hz（水平面内ねじり）、2次が3.39Hz（河流方向ロッキニギ）、3次が8.54Hz（床版のねじり）である。

地震に対して最も心配されるロッキニギ振動の1次振動数は、1.21Hzとなり小さな値である。

単体のロッキニギ振動を表現するために、図-2のようなモデルを考える。すなはち、単体の全質量を重心Gに集中させ、base(A)は、その底面が実物と等しい大きさをもつ質量のない剛板であり、これと質点mと結ぶバネも無限大の剛性をもつものとする。

地盤反力に関しては、図-3に示すような反力分布およびbi-linear型の復元力特性を仮定する。そして、上下方向に20本のバネ、水平方向に2本のバネを考える。第1勾配 f_v 、第2勾配 f_H は、以下のようにならべた。図-2のモデルの1次振動であるロッキニギ振動の1次振動数 $\omega = 1.21 \text{ Hz}$ は、そのモードから判定してbase中心軸まわりのロッキニギ振動とみなしてよく、次式が成立する。

$f_v = (2\pi +)^2 / I_b$ I_b, I_o : base中心軸まわりの慣性モーメントおよび断面2次モーメント
 上式に、 $\omega = 1.21 \text{ Hz}$ の実験結果を入れると、 $f_v = 20.39 \text{ kN/cm}^3$ となる。同様に $\omega = 1.79 \text{ Hz}$ （水平ねじり振動）より、 $f_H = 8.14 \text{ kN/cm}^3$ となる。次に、降伏点 δ_v は、載荷試験より0.5cmとし、第2勾配 f_H は、安全という意味で $1/1000 \times f_v$ とした。以上の仮定に基づき、単体のロッキニギ振動に関する運動方程式は、橋軸方向を代表すると、次式で表わされる。

$$m(\ddot{x} + H\dot{\theta}) + C_1\dot{x} + a\theta f_H(x) = -m\ddot{\theta} \quad \left. \begin{array}{l} \\ \end{array} \right\} \quad (1)$$

$$J_b\ddot{\theta} + C_2\dot{\theta} + b \int_{-\eta}^{\theta} f_v(\eta)\eta d\eta - a\theta f_H(x)H = 0$$

ただし、 $x = y - H\theta$, y : 質点 m の水平変位, θ : base の回転角,
 H : base から質点 m までの距離, 13.16 m, $m = 250.33 \text{ t sec}^2/\text{m}$,
 C_1, C_2 : 減衰係数, J_0 : 重心まわりの慣性モーメント, 69430.6 t sec·m,
 a : base の巾, 7.0 m, b : base の奥行き, 11.0 m,
 $\ddot{\epsilon}$: 地動の加速度

3. 等価線形および入力 $\ddot{\epsilon}$ 今、すべてのバネの変位が、 $\delta_y = 0.5 \text{ cm}$ を越える時を、この構造物が転倒したとする。その時の base edge のバネの変位は 9.5 cm となる。という非線形結果と比較検討する等価線形(バネ定数 k_a)を、次のように考える。等価線形と非線形におけるバネのエネルギーの総和が等しくなるように、バネ定数 k_a を決定する。その時 $k_a = 2.86 \text{ kN/cm}^2$ となる。入力 $\ddot{\epsilon}$ についとは、以下の 3通りとする。

- (A) step 荷重 $\ddot{\epsilon} = \ddot{\epsilon}_0 (0 \leq t \leq t_0)$, $\ddot{\epsilon} = 0 (t > t_0)$
- (B) 等価線形の第 1 次固有振動数 $\omega_1 (= 0.442 \text{ Hz})$ の艾振三波
 $\ddot{\epsilon} = \ddot{\epsilon}_0 \sin 2\pi \omega_1 t (0 \leq t \leq t_0)$, $\ddot{\epsilon} = 0 (t > t_0)$
- (C) 地震波 (エルセニトロ 1940 N-δ 成分)

4. 解析結果 式(1)を減衰を無視して線形加速度法により解析した結果が、図-4に示されている。同図は、前述の(A), (B), (C)の入力に対する base edge A 上下方向の変位の最大値 δ_{max} を示すものである。図中 A-line は、(A) a step 荷重に対する解、B-1, B-2-line は、いずれも (B) の艾振三波に対する解、C-line は、(C) のエルセニトロの地震波に対する解で、ここでは、N-δ 成分を 10 秒間振幅を種々変えて入力したものである。B-1-line は三波のうち、最初の一波の間の δ_{max} であり、B-2-line は、三波の中での δ_{max} である。B-1, B-2-line が重なっている部分は、三波の間の δ_{max} か、第一波にあることを意味している。図中の ⑩, ⑨, ⑧, ..., ② という数字は、 δ_y を越えて 11 つのバネの本数を意味している。例えば、⑩-line は、 $\delta_{max} = 9.5 \text{ cm}$ の場合で、そこでは、バネのすべてが δ_y を越えて転倒を起こしている。図より転倒は艾振三波に対して 61.5 gal $\sin 2\pi \omega_1 t$ ($\omega_1 = 0.442 \text{ Hz}$) の入力に対し、第一波中に起こっている。step 荷重では、 $\ddot{\epsilon}_0 = 3.91 \text{ gal}$ の入力に対して起こっている。エルセニトロ地震波に対しては、転倒は起こりえないが、500 gal のエルセニトロに対し、7割のバネが δ_y を越えていることが認められる。

一方、等価線形の場合の応答は、D, E-line で表わされていく。D-line は step 荷重に対する解であり、E-line は、艾振三波に対する解である。これらより、step 荷重の場合 $\ddot{\epsilon}_0 = 3.91 \text{ gal}$ で転倒が起り、これは非線形解析の場合と全く同一となる。艾振三波では、わずか 85 gal で転倒が起こっている。

5. 終りに 変形の大きさや振動においては、非線形解析の有用性が認められた。

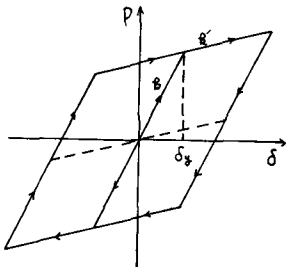


図-3

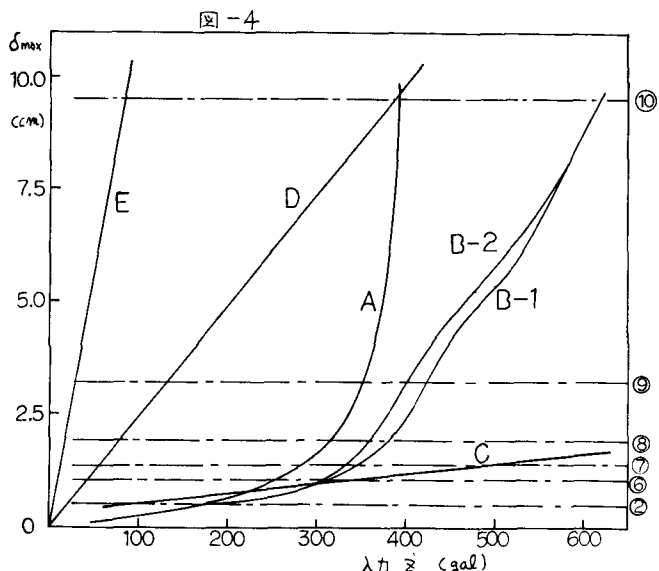


図-4